doi: 10. 19969/j. fxcsxb. 21091002

# 富硒堇叶碎米荠中硒化合物的形态分析与鉴定

叶梅¹, 虞锐鹏¹, 丛 欣², 陈尚卫¹, 朱 松¹\*

(1. 江南大学 食品科学与技术国家重点实验室, 江苏 无锡 214122; 2. 恩施德源健康科技发展有限公司, 湖北 恩施 445000)

摘 要:该文以富硒堇叶碎米荠为研究对象,通过酶解法提取其中的硒化合物,采用高效液相色谱 – 电感耦合等离子质谱(HPLC – ICP – MS)定量分析已知的硒化合物;对于未知的硒化合物,将酶解液经 3 kDa 超滤离心管浓缩除杂、冻干后,用初始流动相复溶,选取 Kinetex F5 超高效液相五氟苯基柱(100 mm × 2.1 mm,2.6 µm),以 0.1%(体积分数)甲酸 – 水溶液和 0.1%(体积分数)甲酸 – 乙腈溶液为流动相进行梯度洗脱,通过超高效液相色谱 – 电喷雾电离源高分辨串联质谱(UPLC – ESI – Triple TOF MS),利用硒独特的同位素模式、一级质谱(TOF MS)和二级质谱(TOF MS/MS)进行筛选与鉴定。结果表明:HPLC – ICP – MS定量分析了堇叶碎米荠中的 5 种硒化合物,分别为硒代胱氨酸( $SeCys_2$ )、甲基硒代半胱氨酸( $SeCys_2$ )、硒代蛋氨酸(SeMet)、四价硒[Se(IV)]、六价硒[Se(VI)];UPLC – ESI – Triple TOF MS鉴定了其他 15 种硒化合物,包括 15 种已报道和 15 种未报道的硒化合物,并提出了 15 C<sub>4</sub>H<sub>7</sub>NO<sub>2</sub>Se、 15 C<sub>5</sub>H<sub>8</sub>O<sub>2</sub>Se 和 15 C<sub>7</sub>H<sub>9</sub>NO<sub>2</sub>Se 15 种本报道硒化合物的结构。 关键词:富硒堇叶碎米荠;硒化合物;HPLC – ICP – MS;UPLC – ESI – Triple TOF MS;鉴定中图分类号:15 C657.63;TS207.3 文献标识码:A 文章编号:15 1004–4957(2022)01–0100–08

# Detection and Identification of Selenium Compounds in Selenium-enriched Cardamine Violifolia

YE Mei<sup>1</sup>, YU Rui-peng<sup>1</sup>, CONG Xin<sup>2</sup>, CHEN Shang-wei<sup>1</sup>, ZHU Song<sup>1\*</sup>

- (1. State Key Laboratory of Food Science and Technology, Jiangnan University, Wuxi 214122, China;
  - 2. Enshi $\operatorname{Se}-\operatorname{Run}$  Health Tech Development Co. , Ltd. , Enshi  $\,$  445000 , China)

Abstract: In this article, selenium(Se) compounds were extracted from Se-enriched Cardamine Violifolia (C. Violifolia) by enzymolysis method, and the known Se species were determined by high performance liquid chromatography – inductively coupled plasma mass spectrometry (HPLC – ICP – MS). As for the identification of unkown Se compounds, the enzymatic hydrolysate was firstly concentrated by removing impurities with a 3 kDa ultrafiltration centrifuge tube, then freeze – dried, and finally suspended in the initial mobile phase. A Kinetex F5 column (100 mm × 2.1 mm, 2.6  $\mu$ m) was selected for gradient elution. Mobile phases A and B were water and acetonitrile both prepared with 0.1%(volume fraction) formic acid. The unknown Se compounds were screened and identified by ultrahigh performance liquid chromatography – electrospray ionization high resolution tandem mass spectrometry (UPLC – ESI – Triple TOF MS) using unique isotope patterns, TOF MS and TOF MS/MS. The results showed that five Se species in C. Violifolia were determined by HPLC – ICP – MS, namely selenocysteine (SeCys<sub>2</sub>), methylselenocysteine (MeSeCys), selenomethionine (SeMet), selenite [Se( $\mathbb{IV}$ )] and selenate [Se( $\mathbb{IV}$ )]. 15 other Se compounds, including 7 reported and 8 unreported Se compounds, were identified by UPLC – ESI – Triple TOF MS. The structural formula of three unreported Se compounds,  $\mathbb{C}_4H_7NO_2Se$ ,  $\mathbb{C}_5H_8O_2Se$  and  $\mathbb{C}_7H_9NO_2Se$  were proposed.

Key words: selenium-enriched *Cardamine Violifolia*; selenium compounds; HPLC – ICP – MS; UPLC – ESI – Triple TOF MS; identification

收稿日期: 2021-09-10; 修回日期: 2021-10-14

基金项目: 国家自然科学基金面上项目(32172197); 食品科学与技术国家重点实验室自主科研课题(SKLF-ZZA-202106)

<sup>\*</sup>通讯作者:朱 松,博士,研究员,研究方向:食品分析,E-mail: zhusong@jiangnan.edu.cn

硒是一种人体必需的微量元素,参与机体许多重要的代谢过程,适量的硒能起到抗氧化防御、维持氧化还原平衡作用,有效改善免疫系统功能<sup>[1-2]</sup>,降低患癌风险<sup>[3]</sup>;然而其不能在人体内自主合成,须通过外界摄入维持正常水平。硒在自然界中分为有机硒和无机硒:无机硒主要为Se(Ⅳ)和Se(Ⅵ),对机体的安全阈值较低;有机硒包括硒蛋白、硒肽、硒代氨基酸等经代谢产生的一系列含硒化合物,对机体的安全阈值较高,生物利用度好<sup>[4]</sup>。因此,对于72%国土面积有不同程度缺硒的中国,科学安全高效地利用有机硒尤为重要<sup>[5]</sup>。

董叶碎米荠是一种典型的富硒植物,能通过自身代谢途径将无机硒高效地转化为有机硒<sup>[6-7]</sup>,2020年国家卫生健康委员会已将堇叶碎米荠列为新食品原料。然而,目前对有机硒化合物的检测手段大多是通过高效液相色谱 – 电感耦合等离子质谱(HPLC – ICP – MS)<sup>[8-9]</sup>和高效液相色谱 – 氢化物原子荧光光谱(HPLC – HG – AFS)分析几种常见的硒代氨基酸<sup>[10-11]</sup>,这主要是受限于硒化合物标准品的数量与种类<sup>[12]</sup>。除此之外的未知硒化合物,必须采用液相色谱 – 高分辨质谱联用方法进行结构鉴定<sup>[13-14]</sup>。

液相色谱 - 高分辨质谱联用时常用的离子源为电喷雾电离(ESI)源,不受多原子干扰,可用于硒的 特异性检测,且高分辨质谱能很好地解决 ICP – MS 受色谱分辨率限制而产生的共洗脱问题[13]。但随着 分辨率的提高,由于许多伴生的易电离物质产生干扰,使得硒化合物的信号受到强烈抑制,而背景值 逐渐升高(相较于ICP – MS 高 2 个数量级 ),导致灵敏度下降。这就需要通过多维色谱分离纯化、冻干 浓缩等步骤获得较高浓度和纯度的含硒化合物[15]。常用的高分辨质谱分析器主要包括飞行时间质谱 (TOF MS)、轨道离子阱质谱(Orbitrap MS)和傅里叶变换质谱(FT – ICR – MS),其中Orbitrap MS有利于 对大分子量(500~1000 Da)化合物的分析,但鉴定的硒化合物不够全面[16-17]。FT-ICR-MS虽然具有 极高的同位素保真度,但与液相色谱的兼容程度需进一步改善[13]。TOF MS在色谱模式下的高数据采集 速度使其能与超高效液相色谱(UPLC)耦合,从而在相对复杂的样品中检测大量的含硒化合物,一定程 度上弥补了ESI离子源的不足,是有利于鉴定低分子量硒化合物的质谱仪器[13,18-19]。如Ward等[20]将不 同富硒酵母的硒化合物,经超滤膜过滤截取、冻干复溶后,直接进高效液相色谱-电喷雾电离源高分 辨串联质谱(HPLC – ESI Q – TOF MS),测定了超过100种含硒化合物。目前运用液相色谱 – 高分辨质 谱联用鉴定的富硒样品绝大多数是蛋白含量较高,研究较为透彻的富硒酵母,对富硒植物中硒化合物 的研究较少。本文以富硒堇叶碎米荠为研究对象,在HPLC-ICP-MS定量分析常见硒化合物的基础 上,通过3kDa超滤离心管去除大分子杂质、冻干浓缩等方法,采用超高效液相色谱 - 电喷雾电离源 高分辨串联质谱(UPLC – ESI – Triple TOF MS)实现了对富硒堇叶碎米荠中未知硒化合物的鉴定。

# 1 实验部分

### 1.1 仪器与试剂

U3000 高效液相色谱仪、iCAP TQ 三重四极杆电感耦合等离子质谱仪(美国 Thermo Fisher公司); SCIEX ExionLC™ AC 超高效液相色谱、X500R Triple TOF MS 高分辨质谱(美国 AB SCIEX公司); 恒温金属浴磁力搅拌器(德国 IKA公司); 5804R 台式冷冻离心机(德国 Eppendorf公司); Mars6 微波消解仪(美国 CEM 公司); LE204E 分析天平、FiveEasy Plus pH 计(上海梅特勒 – 托利多仪器有限公司); 3 kDa 超滤离心管(15 mL,美国 Millipore 公司); 冷冻干燥机(宁波新芝生物科技股份有限公司); TechMate C<sub>18</sub> – ST 反相色谱柱(4.6 mm×250 mm, 5 μm, 日本 Shiseido 公司); Kinetex F5 超高效液相五氟苯基柱 (100 mm×2.1 mm, 2.6 μm, 美国 Phenomenex 公司)。

标准溶液: 硒代胱氨酸( $SeCys_2$ )、甲基硒代半胱氨酸(MeSeCys)、硒代蛋氨酸(SeMet)、Se(VI)、Se(VI)(中国计量科学院国家标准物质研究中心);富硒堇叶碎米荠干粉(恩施德源健康科技发展有限公司);碱性蛋白酶(诺维信生物技术有限公司);胰蛋白酶、蛋白酶K(合肥博美生物科技有限责任公司);磷酸氢二铵、10%四丁基氢氧化铵水溶液(国药集团化学试剂有限公司);硝酸、甲醇、乙腈、甲酸(均为色谱纯,美国Tedia公司)。实验所用超纯水由Milli-Q系统(电阻率为 $18.2~M\Omega\cdot cm$ ,美国Millipore公司)制备。

## 1.2 实验方法

1.2.1 ICP-MS测定总硒 取0.15 g富硒堇叶碎米荠干粉于微波消解管中,加3 mL硝酸,冷消化过 夜后加入5 mL水,于微波消解仪中消解2 h。将消解后的溶液用水定容至相应体积,充分摇匀。取约

15 mL, 过 0. 22 μm 尼龙膜, 于 4 ℃保存待测。样品平行实验 3 次, 同时做试剂空白。

1.2.2 HPLC – ICP – MS 测定硒形态 混合硒标准溶液的配制:分别准确吸取 466.5 μL Se(IV)、482.0 μL Se(VI)、575.0 μL MeSeCys、452.5 μL SeCys₂、507.5 μL SeMet溶液,用水定容于 10 mL容量瓶中,得质量浓度为 2.0 mg/L的硒化合物储备液(以硒计)。混合配制成 200 μg/L的混合标准溶液(以硒计),置于 4 ℃冰箱保存。

样品前处理: 称取 0.1 g 富硒堇叶碎米荠干粉, 经 5% 碱性蛋白酶 – 胰蛋白酶 – 蛋白酶 K 酶解后, 400 r/min 磁力搅拌 4 h。 4 ℃下以 4 000 r/min 离心 30 min, 上清液经 0.22 μm 微孔滤膜过滤后进样。

HPLC条件: 色谱柱为TechMate C<sub>18</sub> – ST 反相色谱柱(4.6 mm × 250 mm, 5 μm); 流动相为30 mmol/L 磷酸氢二铵、0.5 mmol/L四丁基氢氧化铵、3%甲醇,以10%甲酸调流动相 pH 为6.0。柱温为30 ℃,流速为1.0 mL/min。进样量为10 μL,分析时间为10 min。

ICP – MS条件:射频功率为1550 W,冷却气流量为14 L/min,辅助气流量为0.8 L/min,雾化气流量为1.025 L/min, $O_2$ 流量为0.326 mL/min,泵转速为40 r/min,测定模式为 $TQ - O_2$ 模式, $Q_1$ 设置分析质量数为m/z = 80, $Q_3$ 设置质量数为m/z = 96。

1.2.3 UPLC – ESI – Triple TOF MS测定未知硒化合物 样品前处理:将0.5 g富硒堇叶碎米荠干粉 经酶解后,离心取上清液过15 mL3 kDa 超滤离心管,4000 r/min 离心2 h,-20 ℃冷冻干燥后,以1 mL初始流动相复溶,4 ℃下以14000 r/min 高速离心5 min,取上清液待检测。

UPLC条件: Kinetex F5 超高效液相五氟苯基柱(100 mm × 2.1 mm, 2.6  $\mu$ m),柱温为40 ℃,进样盘温度为4 ℃。流动相: A为0.1%(体积分数,下同)甲酸 – 水溶液,B为0.1%甲酸 – 乙腈溶液。梯度洗脱程序: 0~1 min, 3% B; 1~15 min, 3%~95% B; 15~18 min, 95% B; 18.1~20 min, 95%~3% B。流速为0.3 mL/min,进样量为10  $\mu$ L。

ESI – Triple TOF MS 条件: 电喷雾(ESI)正离子源, 气帘气(CUR)为 241 kPa; 雾化气(GS1)为 379 kPa; 辅助气(GS2)为 379 kPa; 喷雾电压(ISVF)为 5 500 V; 离子源温度(TEM)为 550 ℃, IDA 模式下设置去簇电压(DP)为60 V, 碰撞电压(CE)为 35 V, 碰撞电压差(CES)为 15 V。

# 2 结果与讨论

# 2.1 富硒堇叶碎米荠中总硒及已知硒形态的含量

采用 ICP – MS 测得富硒堇叶碎米荠的总硒含量为 2 853.5 mg/kg;经复合蛋白酶酶解后,采用 HPLC – ICP – MS进行形态分析,外标法定量计算该堇叶碎米荠中 5 种硒形态  $SeCys_2$ 、MeSeCys、Se(IV)、SeMet、Se(VI)的含量分别为 2 154.1、18.5、225.8、4.5、52.3 mg/kg。结果表明,该堇叶碎米荠中主要硒形态为有机硒(以  $SeCys_2$ 为主),有机硒含量达到总硒含量的 76.3%。混标和富硒堇叶碎米荠的 HPLC – ICP – MS 图如图 1 所示,可见该堇叶碎米荠中存在多种微量的未知硒化合物,需进一步采用高分辨质谱分析鉴定。

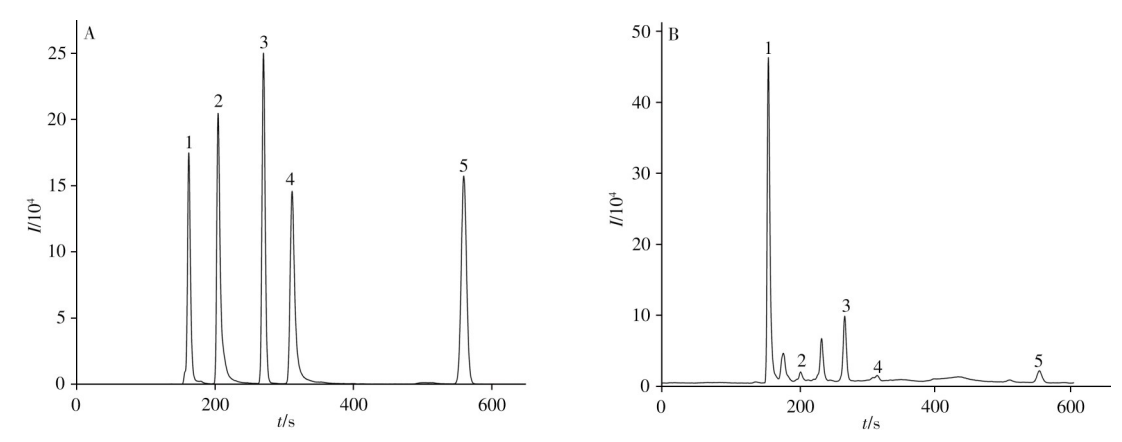


图 1 200 μg/L 混标(以硒计)(A)和富硒堇叶碎米荠(B)的 HPLC – ICP – MS图

Fig. 1 HPLC – ICP – MS chromatograms of 200 μg/L(as Se) mixed standard solution(A) and Se-enriched C. Violifolia(B) peak: 1. SeCys,; 2. MeSeCys; 3. Se(V); 4. SeMet; 5. Se(VI)

#### 2.2 富硒堇叶碎米荠中未知硒化合物的鉴定

#### 2.2.1 数据依赖型扫描和动态背景扣除

Triple TOF 高分辨系统的采集速度高达 100 Hz,采用数据依赖型扫描(IDA)<sup>[21]</sup>和动态背景扣除 (DBS)的数据采集模式,能够使浓缩复溶后的堇叶碎米荠样品经一次进样后同时获得高质量的全扫描 TOF MS 谱图和全面的 TOF MS/MS 谱图。其中 TOF MS 谱图的扫描范围为 m/z 100~1 000; IDA 模式选择 获得 15 个产物离子的 TOF MS/MS 谱图,扫描范围为 m/z 50~1 000。DBS 可以过滤干扰杂质,在通过高分辨和精确质量数全扫描发现主要化学成分的同时,保证目标物得到高质量的 TOF MS/MS 谱图,这些高分辨率和精确质量数谱图可用于对目标物的主要化学成分进行结构阐明与确证。

#### 2.2.2 同位素过滤和质量亏损过滤

硒是一种同位素分布特征明显的元素。本实验结果显示,硒有6个同位素峰,<sup>74</sup>Se 同位素峰的丰度 非常小,仅占最高丰度 <sup>80</sup>Se 的 1. 79%。而 <sup>76</sup>Se、<sup>77</sup>Se、<sup>78</sup>Se、<sup>80</sup>Se 、 <sup>82</sup>Se 同位素的丰度比约为 19: 15: 48: 100: 18,可利用该特征通过同位素过滤方法挖掘数据,找到符合硒同位素分布的质谱图,进而找到可能的含硒有机物。对于可能含有 2~3个硒的有机小分子物质,则须先通过元素组成计算工具 Mass Calculators 得到不同的硒同位素分布情况,再进行同位素过滤。需要注意的是,由于有时谱图干涉或同位素强度比缺乏保真度,须通过人工处理进行再次确认<sup>[13]</sup>。

另外,硒的质量亏损约为921 mDa,与常见元素有一定差异,因此也可利用特征质量亏损过滤进行含硒有机物的确认[18]。

#### 2.2.3 硒化合物分子式的确认及结构鉴定

依据上述步骤,除 HPLC – ICP – MS 形态分析的 5 种硒化合物外,本实验通过 UPLC – ESI – Triple TOF MS 鉴定  $^{[22]}$ 出 15 种硒化合物,其中有7种已被报道(如表1)。在8 种未报道的硒化合物中,提出了 3 种硒化合物的结构式,分别为  $C_4H_7NO_2Se([M+H]^*$ 的 m/z 为 181. 971 5)、 $C_5H_8O_2Se([M+H]^*$ 的 m/z 为 180. 976 2)、 $C_7H_9NO_2Se([M+H]^*$ 的 m/z 为 219. 987 4),详细的质谱和结构特征信息见表 2。以下是 3 种硒化合物结构的鉴定过程。

表 1 富硒堇叶碎米荠中鉴定的15种硒化合物 Table 1 Se compounds identified in Se-enriched *C. Violifolia* 

D	Retention time(min)	Molecular	Name	D. C
Precursor mass $(m/z)$		formula [M + H] <sup>+</sup>	Name	Reference
180. 976 2	1. 24	$C_5H_9O_2Se^+$	-	_
181. 971 5	3. 05	$C_4H_8NO_2Se^+$	-	_
219. 987 4	3. 79	$C_7H_{10}NO_2Se^+$	-	_
244. 877 9	1.70	$\mathrm{C_4H_7O_2Se_2}^+$	1,2-Diselenolane-4-carboxylic acid	[23]
			(1,2-二硒戊烯-4-羧酸)	
255. 953 4	1. 62	$C_{12}H_5N_2Se^+$	-	_
269. 112 7	3.90	$C_{10}H_{25}N_2OSe^+$	-	_
277. 919 3	3.00	$C_5H_{12}NO_2Se_2^+$	-	_
313. 029 7	3. 43	$C_9H_{17}N_2O_5Se^+$	$\gamma$ -Glutamyl-Se-methylselenocysteine/	[15, 17 – 18,
			N-acetyl-selenocystathionine(γ-谷酰基-硒-	20, 24]
			甲基硒代半胱氨酸/N-乙酰-胱硒醚)	
320. 159 9	4. 23	$C_{14}H_{30}N_3Se^+$	-	_
345. 001 8		$C_9H_{17}N_2O_5SSe^+$	N-Acetyl-cysteine-selenohomocysteine	[20]
			(N-乙酰-半胱氨酸-硒同型半胱氨酸)	
392. 946 2	1. 65	$C_9H_{17}N_2O_5Se_2^+$	N-Acetyl-selenocysteine-selenohomocysteine	[20]
			(N-乙酰-硒代半胱氨酸-硒同型半胱氨酸)	
402. 023 3	3. 33	$C_{11}H_{20}N_3O_6SSe^+$	Methylthio-selenoglutathione	[17, 20, 25]
		11 20 3 0	(甲硫基-硒谷胱甘肽)	
439. 141 4	0. 78	$C_{11}H_{31}N_6O_7Se^+$	_	_
444. 868 7	2. 33	C <sub>8</sub> H <sub>17</sub> N <sub>2</sub> O <sub>4</sub> Se <sub>3</sub> <sup>+</sup>	Se-selenohomocysteinyl-diseleno-homocysteine	[18, 26]
		0 1/ 2 4 3	(硒高半胱氨酸-二硒同型半胱氨酸)	
489. 055 3	2. 63	$C_{14}H_{25}N_4O_8SSe^+$	Glutathione-selenohomocysteine	[20]
.07. 000 0	2. 00	-14**25* 14 0 8000	(谷胱甘肽-硒同型半胱氨酸)	[-0]
			(山川山川平川門至十川安阪)	

	表2	富硒堇叶碎米荠甲鉴定出的硒化合物的一级和一级质谱信息	
Table 2	MS an	d MS/MS informations of Se compounds identified in Se-enriched C. Violifal	1;

Retention time	Experimental mass	Theoretical mass	Mass error	Molecular formula	Fragment ions	Fragment ions
(min)	(m/z)	(m/z)	(ppm)	$[M + H]^+$	(formula)	(rounded mass)
1. 24	180. 976 2	180. 97 62	- 0. 2	$C_5H_9O_2Se^+$	$C_4H_7$	55. 054 4
					$C_4H_9O$	73. 065 3
					$C_4H_5O_2$	85. 085 3
					$C_4H_7O_2$	87. 045 4
					$\mathrm{CH_{3}Se}$	94. 939 3
					$C_2H_5Se$	108. 955 0
					$C_4H_7Se$	134. 971 9
3. 05	181. 971 5	181. 971 5	0. 1	$\mathrm{C_4H_8NO_2Se^+}$	$C_3H_6N$	56. 049 7
					CHSe	92. 924 3
					$C_2H_5Se$	108. 954 6
					$C_3H_6NSe$	135. 966 4
3. 79	219. 987 4	219. 987 1	1.2	$\mathrm{C_7H_{10}NO_2Se}^{\scriptscriptstyle +}$	$C_4H_5$	53. 038 6
					CHSe	92. 924 0
					$C_2H_3Se$	106. 939 5
					$C_3H_7Se$	122. 971 4
					$C_4H_5Se$	132. 955 5
					$C_6H_8NSe$	173. 981 7
					$C_6H_9NSe$	174. 990 0

2.2.3.1 C<sub>4</sub>H<sub>7</sub>NO<sub>2</sub>Se 通过同位素过滤和质量亏 损过滤,在保留时间3.05 min 位置,找到 m/z 为 181.9715的化合物加氢母离子,其同位素分布 和质量亏损符合硒化合物的特征,提取离子流 (XIC)图和TOF MS谱图分别见图2A、B。为进一 步确认该化合物的元素组成,将其TOF MS 谱图 与Formular Finder的MS Details相链接,基于其精 确质量去除大量元素组成,设置最大元素组成为 C<sub>so</sub>H<sub>soo</sub>N<sub>to</sub>S<sub>s</sub>Se<sub>s</sub>以过滤最大和最小的潜在原子数量 和原子类型,留下可能的元素组成形成元素组成 列表。根据 MS Rank 和 Δppm(化合物母离子的精 确质量数和理论质量数的偏差)对所有可能的结 果进行排序, $\Delta$ ppm越小,表明提出的m/z与精确 的单同位素质量越接近,元素组成的可信度越 高。另外,还需考虑元素组成的不饱和度(RDB 值)是否符合组成化合物的规律。结果表明,该 化合物的分子式仅有1种元素组成为C<sub>4</sub>H<sub>7</sub>NO<sub>5</sub>Se, Δppm 为 0.1 ppm, RDB 值为 3, 可信度较高, 又

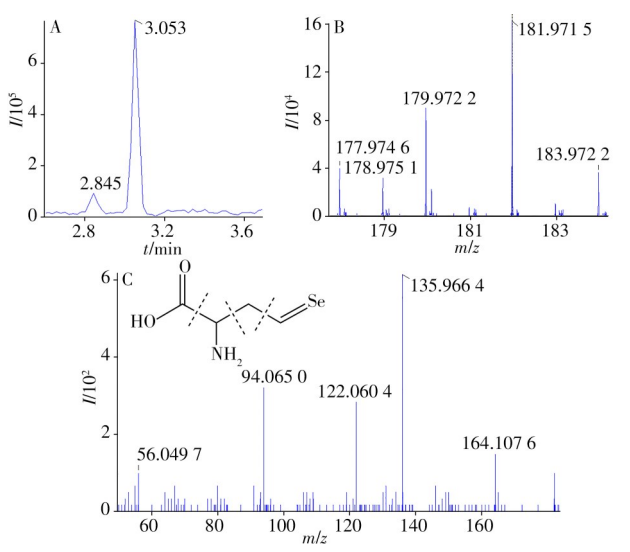


图 2 硒化合物 C<sub>4</sub>H<sub>7</sub>NO<sub>2</sub>Se的 XIC图(A)、MS图(B)、MS/MS图和结构式(C)

Fig. 2 Extracted ion chromatogram(XIC, A), MS spectrum (B), MS/MS spectrum and putative chemical structural formula(C) of Se compound  $C_4H_7NO_5Se$ 

**2. 2. 3. 2**  $C_sH_sO_2Se$  m/z为 180. 976 2的峰经同位素过滤和质量亏损过滤后,通过人工验证确认为硒化

合物,其保留时间为1. 24 min,XIC图和相应TOF MS 谱图如图 3A、B所示。通过 Formular Finder 模式,发现该峰为某含硒化合物的 M + H峰,基于该 M+H峰的精确质量数和最大元素组成拟合形成其所有可能的元素组成列表。根据 MS Rank 和  $\Delta$ ppm 对所有可能的元素组成进行排序,当元素组成为  $C_5H_8O_2^{80}$ Se 时,其 MS Rank 为 1, $\Delta$ ppm 为 - 0. 2 ppm,RDB 值为 3;当元素组成为  $C_5H_8O_2^{78}$ Se 时,其 MS Rank 为 1, $\Delta$ ppm 为 0. 5 ppm。该化合物的母离子在同位素  $^{80}$ Se 和  $^{78}$ Se 的精确质量数与理论质量数偏差均小于 5 ppm,同位素丰度之比为 100:45.3,与理论离子比例偏差小于 10%,表明该化合物的元素组成很可能为  $C_5H_8O_2$ Se,但由于其元素组成列表还有其他可信度较高的可能性,最终分子式须通过 TOF MS/MS 谱图进一步确证。

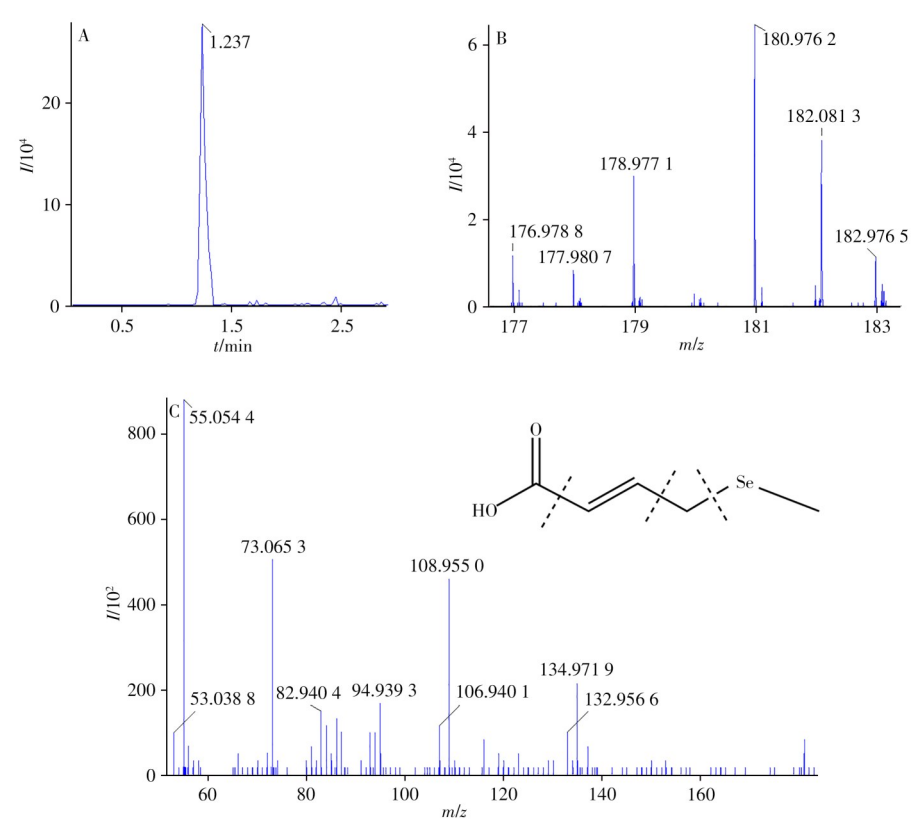


图3 硒化合物 C<sub>5</sub>H<sub>8</sub>O<sub>5</sub>Se的 XIC 图(A)、MS图(B)、MS/MS图和结构式(C)

Fig. 3 Extracted ion chromatogram(A), MS spectrum(B), MS/MS spectrum and putative chemical structural formula(C) of Se compound  $C_5H_8O_5Se$ 

该前体离子(m/z为180.976 2)相应的 TOF MS/MS 谱图如图 3C 所示,其多数碎片离子符合硒同位素分布模式,为含硒裂解碎片。将 TOF MS/MS 谱图与 Formula Finder 的 MS/MS Details 相链接,基于二级质谱拟合出可能的母离子分子式和碎片分子式。结果表明,MS Rank 和 MS/MS Rank 均为 1 时,其一级质谱  $\Delta$ ppm 为 - 0. 2 ppm,RDB 值为 3,二级质谱  $\Delta$ ppm 为 5. 5 ppm,分子式与一级质谱拟合出的分子式完全一致,可以推测该化合物的分子式极有可能为  $C_5H_8O_5Se_5$ 。

该化合物的前体母离子进一步裂解后可能产生的碎片离子如表 2 所示,根据 Ward 等 [20] 的报道和 SeMet 标样的二级谱图,相似的裂解碎片 CH<sub>3</sub>Se、C<sub>2</sub>H<sub>5</sub>Se、C<sub>4</sub>H<sub>7</sub>Se 表明该化合物很可能为 SeMet 的前体离子(C<sub>5</sub>H<sub>12</sub>NO<sub>2</sub>Se<sup>+</sup>)失去 NH<sub>4</sub><sup>+</sup>后的产物。其次,裂解碎片 C<sub>4</sub>H<sub>7</sub>O<sub>2</sub>为 Ouerdane 等 [24] 报道的 2 种甲基硒碳水化合物 M+H 峰的前体母离子 C<sub>5</sub>H<sub>11</sub>O<sub>3</sub>Se<sup>+</sup>、C<sub>6</sub>H<sub>13</sub>O<sub>3</sub>Se<sup>+</sup>的裂解碎片,推测该硒化合物的母离子 C<sub>5</sub>H<sub>9</sub>O<sub>2</sub>Se<sup>+</sup>为甲基硒碳水化合物的母离子 C<sub>5</sub>H<sub>11</sub>O<sub>3</sub>Se<sup>+</sup>中性丢失 H<sub>2</sub>O 分子,产生的一种新的甲基硒碳水化合物 (Methylseleno carbohydrate),进一步验证了该化合物的结构。将该化合物的结构式导入 ChemDraw,通过 Show Analysis Window 分析可能的裂解碎片与 TOF MS/MS 谱图是否一致,结果表明该结构式满足该化合物的多数裂解碎片,如 CH<sub>3</sub>Se、C<sub>2</sub>H<sub>5</sub>Se、C<sub>4</sub>H<sub>7</sub>Se、C<sub>4</sub>H<sub>5</sub>O<sub>2</sub>、C<sub>4</sub>H<sub>7</sub>O<sub>2</sub>,最后通过 Check Structure 功能验证了该化合物结构式的合理性。该甲基硒碳水化合物可能的化学结构式及裂解过程如图 3 C 所示。

**2.2.3.3 C**<sub>2</sub>**H**<sub>9</sub>**NO**<sub>2</sub>**Se** MS质谱图中,在 m/z 为 219. 987 4 处,发现符合硒同位素分布特征的硒化合物 母离子,在总离子流(TIC)图中,其保留时间为 3. 79 min。该硒化合物母离子在 m/z 219. 987 4 处的同位素分布 XIC 图及相应 TOF MS 谱图见图 4A、B。经 Formula Finder 进行分子拟合后,结果表明元素组成为 C<sub>2</sub>H<sub>9</sub>NO<sub>2</sub>Se 时,其 MS Rank 为 1, $\Delta$ ppm 为 1. 2 ppm,RDB 值为 5,符合基本的化合物元素组成规律。该母离子经二级裂解后产生的 TOF MS/MS 谱图如图 4C 所示。基于 TOF MS/MS 进行 Formula Finder分子拟合,拟合出的分子式中,MS Rank 为 1,MS/MS Rank 为 1 的元素组成与 TOF MS 谱图拟合结果一致,其一级质谱  $\Delta$ ppm 为 1. 2 ppm,二级质谱  $\Delta$ ppm 为 1. 6 ppm,RDB 值为 5,是一个多不饱和硒化合物。

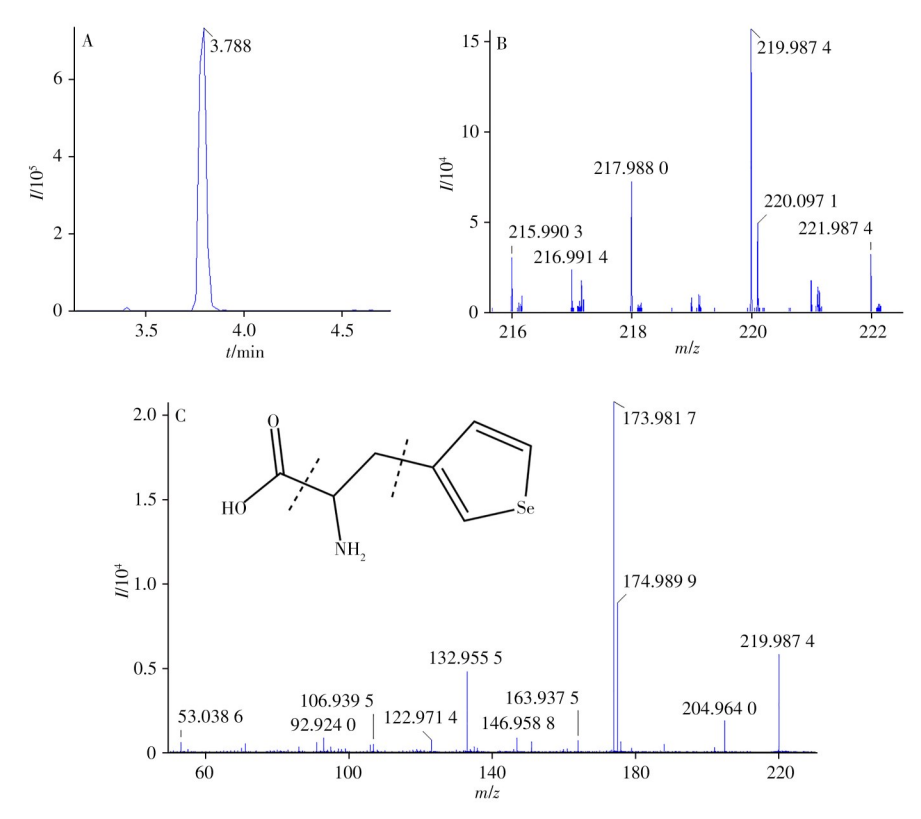


图4 硒化合物 C,H,NO,Se 的 XIC 图(A)、MS图(B)、MS/MS图和结构式(C)

Fig. 4 Extracted ion chromatogram(A), MS spectrum(B), MS/MS spectrum and putative chemical structural formula(C) of Se compound  $C_7H_9NO_7Se$ 

在TOF MS/MS 谱图中,m/z 173. 981 7为响应强度最高的碎片,其响应强度达到  $2 \times 10^4$ ,符合硒的质量亏损特征,表明该硒化合物经二级裂解最可能形成m/z 173. 981 7的含硒裂解碎片离子,其拟合出的分子式为  $C_oH_sNSe$ ,与硒化合物  $C_rH_sNO_sSe$  相比,质量数减少了 46 Da,表明该化合物很可能含有  $1 \land 20$  为基(—COOH),通过中性丢失失去  $1 \land 20$  和  $1 \land 20$  ,由于该化合物的不饱和度较高(RDB 值为  $1 \land 20$  ,许多裂解碎片的 $1 \land 20$  ,是明该硒化合物存在  $1 \land 20$  ,在  $1 \land 20$  ,是  $10 \land 20$  ,是

#### 3 结 论

本文采用HPLC-ICP-MS对富硒堇叶碎米荠酶解液中的5种硒形态进行了定量分析;将酶解液通过3kDa超滤管去除大分子物质和纯化后,冷冻干燥浓缩样品中的硒化合物,避免了复杂的多维色谱纯化过程;结合UPLC-ESI-Triple TOF MS高分辨质谱鉴定出富硒堇叶碎米荠中15种未知硒化合物,

包括7种已报道和8种未报道的硒化合物,提出了3种未报道硒化合物的可能结构式。鉴定策略为:通过硒的同位素分布和质量亏损特征发现含硒化合物后,利用含硒化合物的 MS、MS/MS 谱图和 Formula Finder 拟合出可能的含硒化合物分子式,再通过 ChemSpider 及文献搜索,找到可能的含硒化合物结构式,最后根据硒化合物的 MS、MS/MS 谱图和裂解碎片采用 ChemDraw 验证硒化合物结构式的可靠性。本研究为富硒植物中硒形态分析及未知硒化合物鉴定提供了思路。

#### 参考文献:

- [1] Weekley C M, Harris H H. Chem. Soc. Rev., 2013, 42(23): 8870 8894.
- [2] Kieliszek M, Błażejak S. *Molecules*, **2016**, 21(5): 609.
- [3] Vinceti M, Filippini T, Del Giovane C, Dennert G, Zwahlen M, Brinkman M, Zeegers M P A, Horneber M, D'Amico R, Crespi C M. *Cochrane Database Syst. Rev.*, **2018**, 1(1): CD005195.
- [4] Gupta M, Gupta S. Front Plant Sci., 2016, 7: 2074.
- [5] Tan J A. Earth Environment and Health. Beijing: Chemical Industry Press(谭见安. 地球环境与健康. 北京: 化学工业出版社), 2004.
- [6] White P.J. Ann. Bot., **2016**, 117(2): 217 235.
- [7] Natasha, Shahid M, Niazi N K, Khalid S, Murtaza B, Bibi I, Rashid M I. Environ. Pollut., 2018, 234: 915-934.
- [8] Liu Y, Chen S Z, Chen Z, Yao X H, Zhou T H, Liu L P. *J. Instrum. Anal.* (刘源,陈绍占,陈镇,姚晓慧,周天慧,刘丽萍. 分析测试学报), **2020**, 39(2): 273 277.
- [9] Lü Y N, Song W, Shen G L, Jin Y J. *J. Instrum. Anal.* (吕亚宁,宋伟,沈贵兰,金玉娟. 分析测试学报), **2018**, 37(9): 1087 1091.
- [10] Pyrzynska K, Sentkowska A. TRAC Trends Anal. Chem., 2019, 111: 128 138.
- [11] Pyrzynska K, Sentkowska A. Crit. Rev. Food Sci. Nutr., 2021, 61(8): 1340 1352.
- [12] Mi X B, Shao S X, Zhang J, Long S Q. Earth Environ. (米秀博, 邵树勋, 张静, 龙胜桥. 地球与环境), **2014**, 42(4): 574 581.
- [13] Bierla K, Godin S, Lobinski R, Szpunar J. TRAC Trends Anal. Chem., 2018, 104: 87 94.
- [14] Ruszczyńska A, Konopka A, Kurek E, Elguera J C T, Bulska E. Spectroc. Acta B, 2017, 130: 7-16.
- [15] Far J, Preud'homme H, Lobinski R. Anal. Chim. Acta, 2010, 657(2): 175-190.
- [16] Arnaudguilhem C, Bierla K, Ouerdane L, Preud'homme H, Yiannikouris A. Anal. Chim. Acta, 2012, 757: 26-38.
- [17] Preud'homme H, Far J, Gil Casal S, Lobinski R. Metallomics, 2012, 4(5): 422 432.
- [18] Ouerdane L, Both E B, Xiang J Q, Yin H Q, Kang Y, Shao S X, Kiszelák K, Jókai Z, Dernovics M. *Metallomics*, **2020**, 12(12): 2032 2048.
- [19] Gilbert López B, Dernovics M, Moreno González D, Molina Díaz A. J. Chromatogr. B, 2017, 1060; 84 90.
- [20] Ward P, Chadha M, Connolly C, Stalcup A, Murphy R. Int. J. Mass Spectrom., 2019, 439: 42-52.
- [21] Zhu X C, Chen Y P, Subramanian R. Anal. Chem., 2014, 86(2): 1202-1209.
- [22] De Vijlder T, Valkenborg D, Lemière F, Romijn E P, Laukens K, Cuyckens F. Mass Spectrom. Rev., 2018, 37(5): 607 629.
- [23] Sato R, Kimura T. Sci. Synth., 2008, 39: 1101.
- [24] Ouerdane L, Aureli F, Flis P, Bierla K, Preud'homme H, Cubadda F, Szpunar J. *Metallomics*, **2013**, 5(9): 1294 1304.
- [25] Casal S G, Far J, Bierla K, Ouerdane L, Szpunar J. Metallomics, 2010, 2(8): 535-548.
- [26] Németh A, García Reyes JF, Kosáry J, Dernovics M. Metallomics, 2013, 5(12): 1663 1673.

(责任编辑:丁岩)